

Quanteninformatik 2

02.04.2023

basierend auf einer Vorlesung von Prof. Dr. Dr. h.c. Frank Leymann und Dr. Johanna Barzen, IAAS, Universität Stuttgart

Dichteoperator

| | | | |
|----------------|--|--|--|
| Gem. Zustand | $\rho = \sum_i p_i \Psi_i\rangle\langle\Psi_i $ mit $\sum_i p_i = 1$ | Gem. Zustand \neq Superpos.: $\rho = \frac{1}{2} \begin{pmatrix} 1 & 0 \\ 0 & 1 \end{pmatrix} \Rightarrow$ Gemisch $ 0\rangle, 1\rangle$; $\frac{1}{2} \begin{pmatrix} 1 & 1 \\ 1 & 1 \end{pmatrix} \Rightarrow \frac{1}{\sqrt{2}} 0\rangle + \frac{1}{\sqrt{2}} 1\rangle$ | |
| Eigenschaften | $\text{Tr}(\rho) = 1$, ρ positiv ($\forall \lambda_i > 0$) | Reiner Zustand: $\text{Tr}(\rho^2) = 1$ $\text{Tr}(\rho^2) < 1$... Reinheit | Messung: $\langle \hat{O} \rangle_\rho = \sum_i p_i \langle \varphi_i \hat{O} \varphi_i \rangle = \text{Tr}(\hat{O} \rho)$ |
| | Dichteoperator enthält alle Informationen, die man durch Messung des Gemischs erhalten kann Verschiedene Gemische können denselben Dichteoperator haben (z.B. Gemisch $ 0\rangle, 1\rangle$, Gemisch $ +\rangle, -\rangle$) | | |
| | ρ_{ii} ... Populationen (Wahrscheinlichkeit des Auftretens des Zustands entsprechend der Spalte i), ρ_{ij} ... Kohärenzen (Korrelation der Zustände in Zeile i und Spalte j) | | |
| Partielle Spur | Zurückführen eines Gemischs in einem „großen System“ auf ein „kleineres“ System. Einige Komponenten des „größeren“ Systems werden <i>ausgespart</i> . Die Partielle Spur ist ungefähr die Inverse zum Tensorprodukt. (Bei Produktzuständen genau): $\rho_{AB} \stackrel{\text{def}}{=} \rho_A \otimes \rho_B \Rightarrow \text{Tr}_B(\rho_{AB}) = \sum_j (\mathbb{1}_A \langle j _B) \rho_{AB} (\mathbb{1}_A j \rangle_B) = \sum_j (\mathbb{1}_A \rho_A \mathbb{1}_A) (\langle j _B \rho_B j \rangle_B) = \rho_A \text{Tr}(\rho_B) = \rho_A \mathbb{1}_B \Rightarrow \boxed{\text{Tr}_B(\rho_{AB}) = \rho_A}$ | | |
| | Das „kleinere“ System ist durch den <i>reduzierten Dichteoperator</i> gegeben, der durch die partielle Spur berechnet wird. Partielle Spuren reiner Zustände können gemischt sein. Z.B. Bell-Zustand $ \varphi^+\rangle = \frac{1}{\sqrt{2}} 0\rangle_A 0\rangle_B + \frac{1}{\sqrt{2}} 1\rangle_A 1\rangle_B \Rightarrow$ $\text{Tr}_B(\rho_{AB}) = \text{Tr}_B(\varphi^+\rangle\langle\varphi^+) = \frac{1}{2}\mathbb{1}_A \Rightarrow \text{Tr}\left(\left(\frac{1}{2}\mathbb{1}\right)^2\right) < 1 \Rightarrow$ gemischt! Fehler entstehen durch Verschränkung mit Umgebung. | | |
| Lokale Messg | $(\hat{O} \otimes \mathbb{1}_B)_{\rho_{AB}} = \text{Tr}(\hat{O} \rho_A)$ Mit ρ_A kann man die Erwartungswerte aller lokaler Messungen auf A berechnen. | | |
| Bereinigung | Sei ρ_A der verrauschte Zustand. Bereinigung: reiner Zustand $ \Psi\rangle_{RA}$: $\text{Tr}_R(\Psi\rangle\langle\Psi _{RA}) = \rho_A$ (nicht eindeutig) | | |

Entropie

| | | | |
|---------------------|---|---|---|
| Shannon: | $S(X) = H(p_1, \dots, p_n) = -\sum_x p_x \log_2(p_x)$ | Von Neumann: $S(\rho) = -\text{Tr}(\rho \log_2(\rho)) = -\sum_x \lambda_x \log_2(\lambda_x) \geq 0$ | $S(\rho) = 0 \Leftrightarrow \rho$ rein |
| Messung: | $S(\rho') \geq S(\rho)$... Entropie nimmt durch Messung zu. $S(\rho') = S(\rho) \Leftrightarrow \rho' = \rho$ weiters: $S(\rho \otimes \sigma) = S(\rho) + S(\sigma)$ | | |
| $S(\rho) \leq H(X)$ | N Qbits $\{ \Psi_1\rangle \dots \Psi_n\rangle\}$ orthogonal $\Rightarrow S(\rho) = H(X)$ N Qbits $\{ \Psi_1\rangle \dots \Psi_n\rangle\}$ nicht orthogonal $\Rightarrow S(\rho) < H(X)$ | | |

Quantum Fourier Transform QFT

| | | |
|-------------------------|--|--|
| QFT | $QFT_N = \frac{1}{\sqrt{N}} \begin{pmatrix} 1 & 1 & 1 & \dots & 1 \\ 1 & \omega_N & \omega_N^2 & \dots & \omega_N^{N-1} \\ 1 & \omega_N^2 & \omega_N^4 & \dots & \omega_N^{2(N-1)} \\ \vdots & \vdots & \vdots & \ddots & \vdots \\ 1 & \omega_N^{N-1} & \omega_N^{2(N-1)} & \dots & \omega_N^{(N-1)(N-1)} \end{pmatrix}$ mit $\omega_N \stackrel{\text{def}}{=} e^{2\pi i/N}$ | Sei $\{ 0\rangle, 1\rangle, \dots, N-1\rangle\}$ ONB; dann ist $QFT_N = \frac{1}{\sqrt{N}} \sum_{k=0}^{N-1} \omega_N^{jk} k\rangle = \frac{1}{\sqrt{N}} \sum_{k=0}^{N-1} e^{2\pi i jk/N} k\rangle$ $QFT_2 = \begin{pmatrix} 1 & 1 \\ 1 & \omega_2 \end{pmatrix} = \begin{pmatrix} 1 & 1 \\ 1 & -1 \end{pmatrix} = \hat{H}$ (Hadamard) |
| Binärdarstellg | $j \in \mathbb{N} \Rightarrow j = (x_{n-1} \dots x_1 x_0)$ mit $x_i \in \{0,1\} \Rightarrow j = \sum_{i=0}^{n-1} x_i 2^i$ $l: 0 \leq l \leq 1 \Rightarrow l = (0, y_{m-1} \dots y_1 y_0)$ mit $y_i \in \{0,1\} \Rightarrow l = \sum_{i=0}^{m-1} y_i 2^{-i}$ | dann ist $(x_{n-1} \dots x_1 x_0 y_{m-1} \dots y_1 y_0)$ eine positive rationale Zahl |
| QFT Produkt-darstellung | $QFT_N(x_{n-1} \dots x_0\rangle) = \frac{1}{2^{n/2}} (0\rangle + e^{2\pi i(0,x_0)} 1\rangle) \otimes (0\rangle + e^{2\pi i(0,x_1 x_0)} 1\rangle) \otimes \dots \otimes (0\rangle + e^{2\pi i(0,x_{n-1} \dots x_0)} 1\rangle)$ | |
| Schaltkreis | | $\hat{R}_k = \begin{pmatrix} 1 & 0 \\ 0 & e^{2\pi i/2^k} \end{pmatrix}$ Swaps an den Ausgängen noch notwendig! QFT benötigt $O(n^2)$ 1-Qbit und CNOT Gatter FFT benötigt im Vergleich $O(n \cdot n^2)$ Schritte Exponentieller Speedup! Sei $\hat{U} \in \mathbb{C}^{2 \times 2}$ unitär. Dann lässt sich \hat{U} durch vier 1-Qbit Gatter und zwei CNOT darstellen |
| | | |

Quantum Phase Estimation QPE

| | | |
|--|---|--|
| Eigenwerte | \hat{U} unitär $\Rightarrow \forall \lambda_i: \lambda_i = e^{2\pi i \varphi} \Rightarrow$ Bestimmung der Phase φ ist Bestimmung des Eigenwertes λ_i | |
| Schaltkreis m. t Ancilla Nachkommastellen | | Anschließende QFT^{-1} notwendig: $ 0\rangle \xrightarrow{H} (x_{t-1} \dots x_0) \xrightarrow{U^{(x_{t-1} \dots x_0)}} \xrightarrow{QFT^{-1}} \varphi$ $ u\rangle \xrightarrow{U^{(x_{t-1} \dots x_0)}} u\rangle$ |
| Eigenvektor $ u\rangle$ muss bekannt sein! | Komplexität $O(t^2) = O(n^2)$. Exponentieller Speedup! Um bei nicht-rationalen Phasen φ Stellen mit $p = 1 - \varepsilon$ Wahrscheinlichkeit zu bestimmen, braucht man $t = q + \lceil \log\left(2 + \frac{1}{2\varepsilon}\right) \rceil$ Ancilla Qbits | |

State Preparation

| | | | | | |
|--|---|---|---|---|---|
| Basis Encoding | $x \in \mathbb{N} \Rightarrow x = \sum_{i=0}^{n-1} b_i 2^i \Rightarrow x \mapsto b_{n-1} \dots b_0\rangle \Rightarrow x = \hat{X}^{b_n} \otimes \dots \otimes \hat{X}^{b_0} 0 \dots 0\rangle$ | | $x \in \mathbb{R} \Rightarrow x = \sum_{i=0}^{n-1} b_i 2^i + \sum_{i=1}^k b_{-i} 2^{-i} \Rightarrow x \mapsto b_{n-1} \dots b_0 b_{-1} \dots b_{-k}\rangle \Rightarrow x = \hat{X}^{b_n} \otimes \dots \otimes \hat{X}^{b_{-k}} 0 \dots 0\rangle$ | | Vektor: $x = \begin{pmatrix} 0.7 \\ 1011 \\ 1001 \end{pmatrix} \Rightarrow x \mapsto 1011\ 1001\rangle$ |
| Amplitude encoding | Required Qubits: $\lceil \log_2(N) \rceil$ Required Gates: 4^N | $\vec{x} \in \mathbb{R}^N \setminus \{0\} \Rightarrow \vec{x} \mapsto \sum_i \frac{x_i}{\ \vec{x}\ } i\rangle$ | $A \in \mathbb{R}^{n \times m} \setminus \{0\} \Rightarrow A \mapsto \sum_{ij} \frac{a_{ij}}{\ A\ } i\rangle j\rangle$ | Problem: Distanzen zw. Vektoren gehen mit Normierung verloren. Zusätzliche Dimension! | |
| (Tensor) Product Encoding (angle encod.) | $\vec{x} \in \mathbb{R}^n, \forall i: x_i \leq 1, \text{ req: } n \text{ Qubits, } n \text{ gates}$ $x \mapsto \begin{pmatrix} \cos(x_0) \\ \sin(x_0) \end{pmatrix} \otimes \dots \otimes \begin{pmatrix} \cos(x_{n-1}) \\ \sin(x_{n-1}) \end{pmatrix}$ | | $\hat{R}_y(2x) = \begin{pmatrix} \cos(x) & -\sin(x) \\ \sin(x) & \cos(x) \end{pmatrix} \Rightarrow \hat{R}_y(2x) 0\rangle = \cos(x) 0\rangle + \sin(x) 1\rangle$ | | |
| Präp. beliebiger Zustand | $ \Psi\rangle = \cos(\vartheta) 0\rangle + e^{i\varphi} \sin(\vartheta) 1\rangle = \hat{U} 0\rangle$ mit $\hat{U} = \begin{pmatrix} \cos(\vartheta) & -e^{-i\varphi} \sin(\vartheta) \\ e^{i\varphi} \sin(\vartheta) & \cos(\vartheta) \end{pmatrix} = e^{i\alpha} \hat{R}_z(\beta) \hat{R}_y(\gamma) \hat{R}_z(\delta)$ | | | | |

Transpilation und Readout-Fehler

| | | | | | |
|-------------|---|---|--|----------------|--|
| Tiefe: | Anzahl Schichten | Breite: | Anzahl manipulierter Qubits. | Transpilation: | Übersetzen in Hardware-Gates. Topologie! Fidelity! |
| Rotationen: | $\hat{R}_x(\varphi) = \begin{pmatrix} \cos(\frac{\varphi}{2}) & -i \sin(\frac{\varphi}{2}) \\ -i \sin(\frac{\varphi}{2}) & \cos(\frac{\varphi}{2}) \end{pmatrix} \rightarrow \text{R}_x(\varphi)$ | $\hat{R}_y(\varphi) = \begin{pmatrix} \cos(\frac{\varphi}{2}) & -\sin(\frac{\varphi}{2}) \\ \sin(\frac{\varphi}{2}) & \cos(\frac{\varphi}{2}) \end{pmatrix} \rightarrow \text{R}_y(\varphi)$ | $\hat{R}_z(\varphi) = \begin{pmatrix} 1 & 0 \\ 0 & e^{i\varphi} \end{pmatrix} \rightarrow \text{R}_z(\varphi)$ | | |
| | $\hat{U}_3(\vartheta, \varphi, \lambda) = \begin{pmatrix} \cos(\frac{\vartheta}{2}) & -e^{i\lambda} \sin(\frac{\vartheta}{2}) \\ e^{i\varphi} \sin(\frac{\vartheta}{2}) & e^{i(\lambda+\varphi)} \cos(\frac{\vartheta}{2}) \end{pmatrix} \rightarrow \text{U}_3(\vartheta, \varphi, \lambda)$ | $\hat{U}_2(\varphi, \lambda) = \hat{U}_3(\frac{\pi}{2}, \varphi, \lambda) = \frac{1}{\sqrt{2}} \begin{pmatrix} 1 & -e^{i\lambda} \\ e^{i\varphi} & e^{i(\lambda+\varphi)} \end{pmatrix} \rightarrow \text{U}_2(\vartheta, \lambda)$ | | | |
| Unfolding | $\vec{t} = C \vec{m}$ mit $C \dots$ Kalibrierungsmatrix, $\vec{m} \dots$ measured values, $\vec{t} \dots$ true values $C_{ij} = \text{prob}(\text{measured } j \text{true } i) \Rightarrow C_i \text{ m mal ausführen, es wird k mal j gemessen} \Rightarrow C_{ij} = k/m$ | | | | |

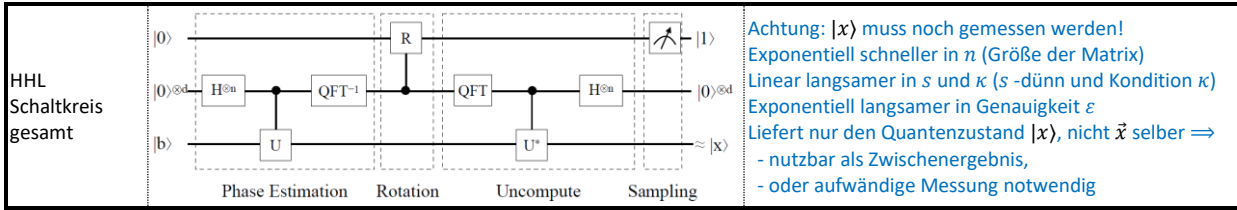
Simulation eines Hamilton Operators

| | |
|--------------------|--|
| Matrix-Exponential | $X \in \mathbb{C}^{n \times n} \Rightarrow e^X = \sum_{k=0}^{\infty} \frac{1}{k!} X^k, e^0 = 1, e^{aX} e^{bX} = e^{(a+b)X}, e^X e^{-X} = 1, (e^X)^{-1} = e^{-X}, (e^X)^\dagger = e^{X^\dagger}, e^{YXY^{-1}} = Y e^X Y^{-1}$ $\det(e^X) = e^{\text{tr}(X)}, e^{\text{diag}(\lambda_1, \dots, \lambda_n)} = \text{diag}(e^{\lambda_1}, \dots, e^{\lambda_n}), X \text{ hermitesch} \Rightarrow e^{iX} \text{ unitär}, e^{X+Y} = e^X e^Y e^{-[X,Y]/2}, e^X e^Y = e^Y e^X e^{[X,Y]}$ |
| Lie-Trotter | $A, B \text{ hermitesch}, t \geq 0 \Rightarrow e^{it(A+B)} = \lim_{N \rightarrow \infty} \left(e^{\frac{itA}{N}} e^{\frac{itB}{N}} \right)^N$ |
| Trotter-Entw. | $\text{sei } H = H_1 + \dots + H_M \text{ und } H \dots k\text{-lokal} \Rightarrow e^{-iHt} \approx (e^{-iH_1 t/L} \dots e^{-iH_M t/L})^L \text{ (wenn } t \text{ nicht klein ist, dann } L \text{ entspr. groß wählen)}$ |

HHL (Lösen linearer Gleichungssysteme)

| | | | |
|----------------------------------|---|---|---|
| Lineares Gleichungssystem | $A \vec{x} = \vec{b}$ mit $A \in \mathbb{C}^{n \times n}$ hermitesch | Sei $A \in \mathbb{C}^{n \times m}$ nicht hermitesch, dann ist $\begin{pmatrix} 0 & A \\ A^\dagger & 0 \end{pmatrix}$ hermitesch und quadratisch. Lösung von $\begin{pmatrix} 0 & A \\ A^\dagger & 0 \end{pmatrix} \begin{pmatrix} \vec{0} \\ \vec{x} \end{pmatrix} = \begin{pmatrix} \vec{b} \\ \vec{0} \end{pmatrix}$ ist die Lösung von $A \vec{x} = \vec{b}$ | |
| HHL Schritt 1 | Spektralzerlegung $A = \sum_i \lambda_i u_i\rangle\langle u_i $ mit $\{ u_i\rangle\}$ ONB. Vorläufige Annahme: $ b\rangle = u_j\rangle$. Weil A hermitesch $\Rightarrow U = e^{iA}$ unitär. $\sigma(A) = \{\lambda_k\}, \text{EV } \{ u_k\rangle\} \Rightarrow \sigma(U) = \{e^{i\lambda_k}\}, \text{EV } \{ u_k\rangle\}$ (A und U haben dieselben Eigenvektoren) | | |
| HHL Schritt 2 QPE | | Anwenden der Phase Estimation auf $ 0\rangle^{\otimes d} \otimes b\rangle$ Annahme: $ b\rangle = u_j\rangle$ Anfangszustand: $ \Psi_0\rangle = 0\rangle \otimes 0\rangle^{\otimes d} \otimes b\rangle$ Nächster Zustand: $ \Psi_1\rangle = 0\rangle \otimes \varphi_{\lambda_j}\rangle \otimes b\rangle$ | |
| HHL Schritt 3 | | \hat{R}_y -Rotation des ersten Acilla-Qubits mit $\vartheta = \arccos\left(\frac{c}{\varphi_{\lambda_j}}\right)$ $C \dots$ Hyperparameter $ \Psi_2\rangle = \left(\sqrt{1 - \frac{c^2}{\varphi_{\lambda_j}^2}} 0\rangle + \frac{c}{\varphi_{\lambda_j}} 1\rangle \right) \otimes \varphi_{\lambda_j}\rangle \otimes b\rangle$ | Annahme $ b\rangle = u_j\rangle$ wird fallen gelassen. $ b\rangle = \sum_i \beta_i u_i\rangle \Rightarrow$ HHL Schritt 4 $ \Psi_3\rangle = \sum_i \beta_i \left(\sqrt{1 - \frac{c^2}{\varphi_{\lambda_j}^2}} 0\rangle + \frac{c}{\varphi_{\lambda_j}} 1\rangle \right) \otimes \varphi_{\lambda_j}\rangle \otimes b\rangle$ |
| HHL Schritt 5: QPE ⁻¹ | | $ \Psi_4\rangle = \sum_i \beta_i \left(\sqrt{1 - \frac{c^2}{\varphi_{\lambda_j}^2}} 0\rangle + \frac{c}{\varphi_{\lambda_j}} 1\rangle \right) \otimes 0\rangle^{\otimes d} \otimes b\rangle$ | HHL Schritt 6 $\sigma(A) = \{\lambda_k\} \Leftrightarrow \sigma(A^{-1}) = \left\{ \frac{1}{\lambda_k} \right\} \Rightarrow \hat{A}^{-1} b\rangle = \sum_i \frac{\beta_i}{\lambda_i} u_i\rangle \Rightarrow$ Messung des 1 Registers, nur 1> berücks. |

HHL (Zusammenfassung)



Linearkombinationen von Unitären Abbildungen

| | |
|-------------|---|
| Hilfssatz | Seien $\hat{U}, \hat{U}' \in \mathbb{C}^{2^n \times 2^n}$ unitäre Operationen, und $\Delta \stackrel{\text{def}}{=} \ \hat{U} - \hat{U}'\ _\sigma$ die Spektralnorm. Dann \exists Algorithmus, der für $\forall \Psi\rangle$ und $\forall \kappa \geq 0$ mit Wahrscheinlichkeit $p_E = 1 - \frac{\kappa \Delta^2}{(\kappa+1)^2} \geq 1 - \frac{4\kappa}{(\kappa+1)^2}$ das Ergebnis von $(\kappa \hat{U} + \hat{U}') \Psi\rangle$ berechnet. |
| Schaltkreis | $\hat{V}_\kappa = \begin{pmatrix} \sqrt{\frac{\kappa}{\kappa+1}} & -\frac{1}{\sqrt{\kappa+1}} \\ \frac{1}{\sqrt{\kappa+1}} & \sqrt{\frac{\kappa}{\kappa+1}} \end{pmatrix} \hat{V}_\kappa^\dagger = \begin{pmatrix} \sqrt{\frac{\kappa}{\kappa+1}} & \frac{1}{\sqrt{\kappa+1}} \\ -\frac{1}{\sqrt{\kappa+1}} & \sqrt{\frac{\kappa}{\kappa+1}} \end{pmatrix}$ $ 0\rangle \Psi\rangle \xrightarrow{\hat{V}_\kappa \otimes \mathbb{1}} \left(\sqrt{\frac{\kappa}{\kappa+1}} 0\rangle + \frac{1}{\sqrt{\kappa+1}} 1\rangle \right) \Psi\rangle \xrightarrow{C_{ 0\rangle} \hat{U}} \sqrt{\frac{\kappa}{\kappa+1}} 0\rangle \hat{U} \Psi\rangle + \frac{1}{\sqrt{\kappa+1}} 1\rangle \Psi\rangle \xrightarrow{C_{ 0\rangle} \hat{U}'} \sqrt{\frac{\kappa}{\kappa+1}} 0\rangle \hat{U}' \Psi\rangle + \frac{1}{\sqrt{\kappa+1}} 1\rangle \hat{U}' \Psi\rangle \xrightarrow{\hat{V}_\kappa^\dagger \otimes \mathbb{1}}$ $\sqrt{\frac{\kappa}{\kappa+1}} \left(\sqrt{\frac{\kappa}{\kappa+1}} 0\rangle - \frac{1}{\sqrt{\kappa+1}} 1\rangle \right) \hat{U} \Psi\rangle + \frac{1}{\sqrt{\kappa+1}} \left(\frac{1}{\sqrt{\kappa+1}} 0\rangle + \sqrt{\frac{\kappa}{\kappa+1}} 1\rangle \right) \hat{U}' \Psi\rangle = \frac{1}{\kappa+1} (\kappa \hat{U} + \hat{U}') \Psi\rangle + 1\rangle \frac{\sqrt{\kappa}}{\kappa+1} (\hat{U}' - \hat{U}) \Psi\rangle$ <p>Messen der Ancilla-Qbits mit Ergebnis $0\rangle$: Der Algorithmus liefert $\Psi\rangle \mapsto \frac{1}{\kappa+1} (\kappa \hat{U} + \hat{U}')$ wobei $p_E = p(0\rangle) \geq 1 - \frac{4\kappa}{(\kappa+1)^2}$</p> |

Skalarprodukt

| | |
|----------------------------|--|
| Re($\langle x y\rangle$) | $ \varphi_{\text{in}}\rangle = \frac{1}{\sqrt{2}}(0\rangle x\rangle + 1\rangle y\rangle) \Rightarrow \varphi_{\text{out}}\rangle \stackrel{\text{def}}{=} \hat{H} \otimes \mathbb{1} \varphi\rangle = \frac{1}{\sqrt{2}}(\hat{H} 0\rangle x\rangle + \hat{H} 1\rangle y\rangle) = \frac{1}{\sqrt{2}}\left(\frac{1}{\sqrt{2}}(0\rangle + 1\rangle) x\rangle + \frac{1}{\sqrt{2}}(0\rangle - 1\rangle) y\rangle\right) \Rightarrow$ $ \varphi_{\text{out}}\rangle = \frac{1}{2}(0\rangle(x\rangle + y\rangle) + 1\rangle(x\rangle - y\rangle))$ Wahrscheinlichkeit $ 0\rangle$ zu messen: $p_{\text{re}} = \frac{1}{4}(\langle x + \langle y)(x\rangle + y\rangle) \Rightarrow$ $p_{\text{re}} = \frac{1}{4}(\langle x x\rangle + \langle y y\rangle + \langle x y\rangle + \langle y x\rangle) = \frac{1}{4}(2 + \langle x y\rangle + \langle x y\rangle^*) = \frac{1}{4}(2 + 2 \text{Re}(\langle x y\rangle)) \Rightarrow \boxed{p_{\text{re}} = \frac{1}{2}(1 + \text{Re}(\langle x y\rangle))}$ |
| Im($\langle x y\rangle$) | $ \varphi_{\text{in}}\rangle = \frac{1}{\sqrt{2}}(0\rangle x\rangle + 1\rangle y\rangle) \Rightarrow \varphi_{\text{out}}\rangle \stackrel{\text{def}}{=} (\hat{H} \otimes \mathbb{1})(\hat{S}Z \otimes \mathbb{1}) \varphi\rangle = \hat{H} \otimes \mathbb{1} \frac{1}{\sqrt{2}}(0\rangle x\rangle - i 1\rangle y\rangle) = \frac{1}{\sqrt{2}}(\hat{H} 0\rangle x\rangle - i\hat{H} 1\rangle y\rangle) \Rightarrow$ $ \varphi_{\text{out}}\rangle = \frac{1}{2}(0\rangle(x\rangle - i y\rangle) + 1\rangle(x\rangle + i y\rangle))$ Wahrscheinlichkeit $ 0\rangle$ zu messen: $p_{\text{im}} = \frac{1}{4}(\langle x + i\langle y)(x\rangle - i y\rangle) \Rightarrow$ $p_{\text{im}} = \frac{1}{4}(\langle x x\rangle + \langle y y\rangle - i\langle x y\rangle + i\langle y x\rangle) = \frac{1}{4}(2 - i\langle x y\rangle + i\langle x y\rangle^*) = \frac{1}{4}(2 - 2 \text{Im}(\langle x y\rangle)) \Rightarrow \boxed{p_{\text{im}} = \frac{1}{2}(1 - \text{Im}(\langle x y\rangle))}$ |

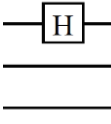
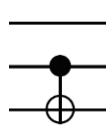
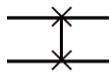
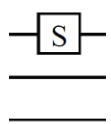
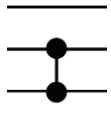
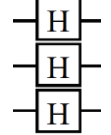
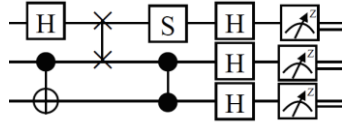
Pauli-Matrizen

| | | |
|--|--|---|
| Pauli-Matrizen | $\hat{X} = \begin{pmatrix} 0 & 1 \\ 1 & 0 \end{pmatrix} \hat{Y} = \begin{pmatrix} 0 & -i \\ i & 0 \end{pmatrix} \hat{Z} = \begin{pmatrix} 1 & 0 \\ 0 & -1 \end{pmatrix} \hat{I} = \begin{pmatrix} 1 & 0 \\ 0 & 1 \end{pmatrix}$ hermitisch, unitär | Regeln: $\hat{X}\hat{X} = \hat{Y}\hat{Y} = \hat{Z}\hat{Z} = \hat{I} \text{ (involutorisch)}$ $\hat{X}\hat{Y} = -\hat{Y}\hat{X}, \hat{X}\hat{Z} = -\hat{Z}\hat{X}, \hat{Y}\hat{Z} = -\hat{Z}\hat{Y}, \hat{Y} = i\hat{X}\hat{Z}$ $\sigma(\cdot) = \{-1, 1\} \det(\cdot) = -1 \text{ tr}(\cdot) = 0$ |
| $\{\hat{I}, \hat{X}, \hat{Y}, \hat{Z}\}$ lin. unabh.ä. | PM spannen $\mathbb{C}^{2 \times 2}$ auf: $\mathcal{L}\{\hat{I}, \hat{X}, \hat{Y}, \hat{Z}\} = (\mathbb{C}^{2 \times 2}, +, \cdot)$ | $\hat{M} = \begin{pmatrix} m_{11} & m_{12} \\ m_{21} & m_{22} \end{pmatrix} = a\hat{I} + b\hat{X} + c\hat{Y} + d\hat{Z} = \begin{pmatrix} a+d & b-ic \\ b+ic & a-d \end{pmatrix}$ $a = \frac{1}{2}(m_{11} + m_{22}) \quad c = \frac{i}{2}(m_{21} - m_{12})$ $b = \frac{1}{2}(m_{12} + m_{21}) \quad d = \frac{1}{2}(m_{11} - m_{22})$ |
| hermitesche Matrizen | Sei \hat{M} hermitesch ($\hat{M} = \hat{M}^\dagger$) \Rightarrow Frobenius Skalarprod. $\langle A, B \rangle_F \stackrel{\text{def}}{=} \sum_{i=1}^n \sum_{j=1}^n a_{ij}^* b_{ij}$ $\langle A, B \rangle_F = \text{tr}(A^\dagger B) = \text{tr}(AB^\dagger)$ | mit $\langle \cdot, \cdot \rangle_F$ ist $(\mathbb{C}^{n \times n}, +, \cdot)$ ein Hilbertraum mit $\langle \cdot, \cdot \rangle_F$ ist $\{\hat{I}, \hat{X}, \hat{Y}, \hat{Z}\}$ eine OGB |
| Messen mit \hat{X} | $\hat{X} +\rangle = +\rangle \quad +\rangle = \frac{1}{\sqrt{2}}(0\rangle + 1\rangle)$ $\hat{X} -\rangle = - -\rangle \quad -\rangle = \frac{1}{\sqrt{2}}(0\rangle - 1\rangle)$ X-Basis: $\{ +\rangle, -\rangle\}$ | <p>Messen von $0\rangle \hat{=} +\rangle$ Messen von $1\rangle \hat{=} -\rangle$</p> |
| Messen mit \hat{Y} | $\hat{Y} +i\rangle = +i\rangle \quad +i\rangle = \frac{1}{\sqrt{2}}(0\rangle + i 1\rangle)$ $\hat{Y} -i\rangle = - -i\rangle \quad -i\rangle = \frac{1}{\sqrt{2}}(0\rangle - i 1\rangle)$ Y-Basis: $\{ +i\rangle, -i\rangle\}$ | <p>Messen von $0\rangle \hat{=} +i\rangle$ Messen von $1\rangle \hat{=} -i\rangle$</p> |

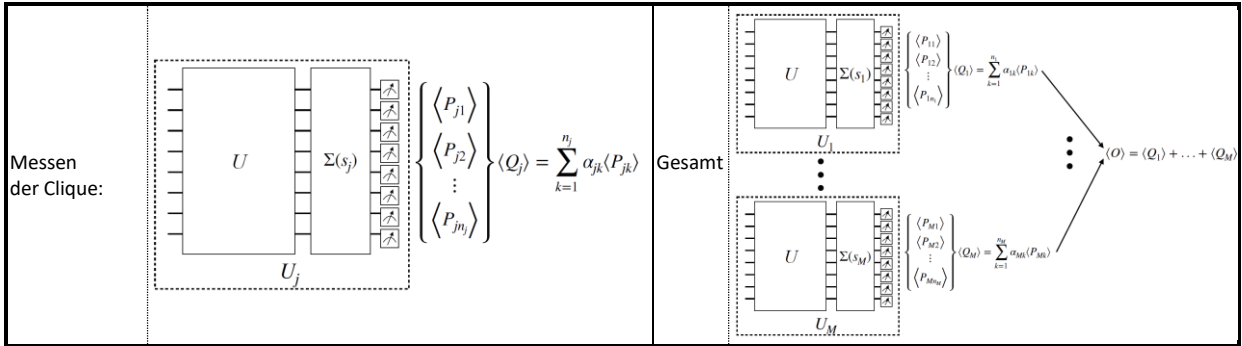
Pauli-Strings

| | | |
|-----------------------------------|---|---|
| Pauli-Strings | $\hat{P} = \hat{A}_1 \otimes \dots \otimes \hat{A}_n$ mit $\hat{A}_i \in \{\hat{I}, \hat{X}, \hat{Y}, \hat{Z}\}$, \hat{P} hermitesch, unitär | Menge aller \hat{P} \mathfrak{P}_n ist eine Basis von $(\mathbb{C}^{2^n \times 2^n}, +, \cdot)$ |
| Basis von \mathcal{H} | Sei $\hat{M} \in \mathbb{C}^{2^n \times 2^n}$ und \hat{M} hermitesch ($\hat{M} \in \mathcal{H}$) $\Rightarrow \hat{M}$ ist reelle Linearkombination von Pauli-Strings | |
| Zerlegung v. \hat{O} | Für $\hat{O} \in \mathcal{H} \Rightarrow \hat{O} = \frac{1}{2^n} \sum_{P \in \mathfrak{P}_n} \langle \hat{P}, \hat{O} \rangle_P \hat{P} = \frac{1}{2^n} \sum_{P \in \mathfrak{P}_n} \text{tr}(\hat{P} \hat{O}) \hat{P}$, oder einfacher: $\hat{O} = \sum_k \alpha_k \hat{P}_k$ I.A. benötigt man $O(4^n)$ P-Strings | |
| Erwartg.wert | $\langle \hat{O} \rangle = \sum_i \alpha_i \langle \hat{P}_i \rangle$ Praktisch: partitionieren von $\{\hat{P}_i\}$ in gleichzeitig messbare (kommutierende) Pauli-Strings. Kommutierende Observable haben gemeinsame Eigenräume. Gleichzeitiges Messen = Projektion auf diese Eigenräume. | |
| Kommutativität (QWK, AK) | Zwei Pauli-Strings $\hat{A} = \hat{A}_1 \otimes \dots \otimes \hat{A}_n$ und $\hat{B} = \hat{B}_1 \otimes \dots \otimes \hat{B}_n$ sind allg. kommutativ (AK), wenn $[\hat{A}_i, \hat{B}_i] = 0$ Qbit-weise Kommutativität: (QWK): $[\hat{A}_i, \hat{B}_i] = 0$ für $1 \leq i \leq n$. QWK \Rightarrow AK aber nicht zwingend umgekehrt! Pauli-Strings sind AK, genau dann wenn sie an einer geraden Zahl von Stellen nicht QWK sind. | |
| Minimal kommutierende Partitionen | AK-Graph: $G = (\{\hat{P}_i\}, E)$ mit $\{\hat{P}_i, \hat{P}_j\} \in E \Leftrightarrow [\hat{P}_i, \hat{P}_j] = 0$. Clique: Eine Teilmenge $C \subseteq \{\hat{P}_i\}$ heißt Clique \Leftrightarrow Je zwei verschiedene Knoten von C sind durch Kanten aus E verbunden. AK-Partition S (Clique im AK-Graphen): Eine Partition S der Pauli-Strings $\{\hat{P}_1, \dots, \hat{P}_m\}$ heißt AK-Partition, wenn die Pauli-Strings jedes Elements von S paarweise AK sind. Minimale AK-Partition: Bestimmung ist NP-schwer. | |

Stabilisator-Matrix

| | | | |
|---|--|--|---|
| Zweck | Bestimmung eines Quantenschaltkreises zur Messung der Observablen, die gleichwertig ist zu den Observablen aller Elemente einer Clique im AK-Graphen. | | |
| Erstellung | <p>Enthält die Clique T m Pauli-Strings, die auf n Qbits wirken, dann hat die Stabilisator-Matrix $\hat{M}(T)$ $2n$ Zeilen und m Spalten. Die obere Hälfte ist die „Z-matrix“, die untere Hälfte die „X-Matrix“.</p> <p>$T = \{\hat{P}_1, \dots, \hat{P}_m\} \subseteq \mathfrak{P}_n \Rightarrow \hat{M}(T) \in \{0,1\}^{2n \times m}$. Sei $\hat{P}_i = \hat{A}_1 \otimes \dots \otimes \hat{A}_n \in T$. Dann:</p> <p>$\hat{A}_j = \hat{I} \Rightarrow S_{ji} = 0 \wedge S_{j+n,i} = 0, \hat{A}_j = \hat{Z} \Rightarrow S_{ji} = 1 \wedge S_{j+n,i} = 0,$ $\hat{A}_j = \hat{X} \Rightarrow S_{ji} = 0 \wedge S_{j+n,i} = 1, \hat{A}_j = \hat{Y} \Rightarrow S_{ji} = 1 \wedge S_{j+n,i} = 1$</p> | Beispiel: $\{IYX, ZZZ, XIX\}$ | $\begin{matrix} \text{Z-} \\ \text{Matrix} \end{matrix} \begin{pmatrix} 0 & 1 & 0 \\ 1 & 1 & 0 \\ 0 & 1 & 0 \\ 0 & 0 & 1 \\ 1 & 0 & 0 \\ 1 & 0 & 0 \end{pmatrix}$ $\begin{matrix} \text{X-} \\ \text{Matrix} \end{matrix} \begin{pmatrix} 0 & 0 & 1 \\ 1 & 0 & 0 \\ 1 & 0 & 0 \\ 0 & 0 & 1 \\ 0 & 0 & 1 \\ 0 & 0 & 1 \end{pmatrix}$ |
| | | <p>Regel A</p> <p>\hat{H}-Transformation von $\hat{M}(T)$:</p> <p>\hat{H} auf Qbit i anwenden, vertauscht Zeilen i und $n+i$</p> <p>Also: „Die i-te Zeile der Z-matrix und der X-Matrix wird vertauscht“</p> | $\begin{pmatrix} 0 & 1 & 0 \\ 1 & 1 & 0 \\ 0 & 1 & 0 \\ 0 & 0 & 1 \\ 1 & 0 & 0 \\ 1 & 0 & 1 \end{pmatrix}$  $\begin{pmatrix} 0 & 0 & 1 \\ 1 & 1 & 0 \\ 0 & 1 & 0 \\ 0 & 1 & 0 \\ 1 & 0 & 0 \\ 1 & 0 & 1 \end{pmatrix}$ |
| <p>Regel B</p> <p>$\hat{C}X$-Transformation von $\hat{M}(T) = t_{ij}$:</p> <p>$\hat{C}X_{\text{control,target}} \Rightarrow$ Für alle Spalten j von $\hat{M}(T)$:</p> <p>$t_{\text{target},j} \oplus t_{\text{control},j} \mapsto t_{\text{control},j}$</p> <p>$t_{\text{target}+n,j} \oplus t_{\text{control}+n,j} \mapsto t_{\text{target}+n,j}$</p> <p>Also: Control- und Target-Qbit modulo 2 addieren. Das Ergebnis in der Z-Matrix beim Control-Qbit eintragen, in der X-Matrix beim Target-Qbit.</p> | $\begin{pmatrix} 0 & 0 & 1 \\ 1 & 1 & 0 \\ 0 & 1 & 0 \\ 0 & 1 & 0 \\ 1 & 0 & 0 \\ 1 & 0 & 1 \end{pmatrix}$  $\begin{pmatrix} 0 & 0 & 1 \\ 1 & 0 & 0 \\ 0 & 1 & 0 \\ 0 & 1 & 0 \\ 1 & 0 & 0 \\ 0 & 0 & 1 \end{pmatrix}$ | | |
| <p>Regel C</p> <p>SWAP-Transformation von $\hat{M}(T)$:</p> <p>SWAP_{ij} vertauscht Zeile i und Zeile j in Z- und X-Matrix</p> | $\begin{pmatrix} 0 & 0 & 1 \\ 1 & 0 & 0 \\ 0 & 1 & 0 \\ 0 & 1 & 0 \\ 1 & 0 & 0 \\ 0 & 0 & 1 \end{pmatrix}$  $\begin{pmatrix} 1 & 0 & 0 \\ 0 & 0 & 1 \\ 0 & 1 & 0 \\ 0 & 1 & 0 \\ 1 & 0 & 0 \\ 0 & 0 & 1 \end{pmatrix}$ | | |
| <p>Regel D</p> <p>\hat{S}-Transformation von $\hat{M}(T)$:</p> <p>\hat{S} auf Qbit i setzt das (i, i) Diagonalelement der Z-Matrix auf 0</p> | $\begin{pmatrix} 1 & 0 & 0 \\ 0 & 0 & 1 \\ 0 & 1 & 0 \\ 1 & 0 & 0 \\ 0 & 1 & 0 \\ 0 & 0 & 1 \end{pmatrix}$  $\begin{pmatrix} 0 & 0 & 0 \\ 0 & 0 & 1 \\ 0 & 1 & 0 \\ 1 & 0 & 0 \\ 0 & 1 & 0 \\ 0 & 0 & 1 \end{pmatrix}$ | | |
| <p>Regel E</p> <p>$\hat{C}Z$-Transformation von $\hat{M}(T)$:</p> <p>$\hat{C}Z_{ij}$ setzt die (i, j) und (j, i)-Elemente der Z-Matrix auf 0</p> | $\begin{pmatrix} 0 & 0 & 0 \\ 0 & 0 & 1 \\ 0 & 1 & 0 \\ 1 & 0 & 0 \\ 0 & 1 & 0 \\ 0 & 0 & 1 \end{pmatrix}$  $\begin{pmatrix} 0 & 0 & 0 \\ 0 & 0 & 0 \\ 0 & 0 & 0 \\ 1 & 0 & 0 \\ 0 & 1 & 0 \\ 0 & 0 & 1 \end{pmatrix}$ | | |
| <p>Regel F</p> <p>$\hat{H}^{\otimes n}$-Transformation von $\hat{M}(T)$:</p> <p>Anwenden von $\hat{H}^{\otimes n}$ vertauscht Z- und X-Matrix</p> | $\begin{pmatrix} 0 & 0 & 0 \\ 0 & 0 & 0 \\ 0 & 0 & 0 \\ 1 & 0 & 0 \\ 0 & 1 & 0 \\ 0 & 0 & 1 \end{pmatrix}$  $\begin{pmatrix} 1 & 0 & 0 \\ 0 & 1 & 0 \\ 0 & 0 & 1 \\ 0 & 0 & 0 \\ 0 & 0 & 0 \\ 0 & 0 & 0 \end{pmatrix}$ | | |
| Zusammen- setzen | <p>Messen des oberen Qbits: Messung von IYX Messen des mittleren Qbits: Messung von ZZZ Messen des unteren Qbits: Messung von XIX</p> | $\begin{pmatrix} 0 & 1 & 0 \\ 1 & 1 & 0 \\ 0 & 1 & 0 \\ 0 & 0 & 1 \\ 1 & 0 & 0 \\ 1 & 0 & 1 \end{pmatrix}$  $\begin{pmatrix} 1 & 0 & 0 \\ 0 & 1 & 0 \\ 0 & 0 & 1 \\ 0 & 0 & 0 \\ 0 & 0 & 0 \\ 0 & 0 & 0 \end{pmatrix}$ | |
| Gesamter Algorithmus | <ol style="list-style-type: none"> (1) Anwenden von Regel A, bis die Z-Matrix maximalen Rang $\min(m, n)$ hat. (2) Anwenden von Regel B und C, bis die X-Matrix die Einheitsmatrix ist. (3) Für jedes (i, i)-Diagonalelement der Z-Matrix, welches gleich 1 ist, Regel D anwenden. (4) Für jedes $(i+1, i)$-Element unter der Hauptdiagonale der Z-Matrix, welches gleich 1 ist, Regel E anwenden. (5) Anwenden von Regel F (6) Messung hinzufügen. | | |

Messen von Cliques und der gesamten Observable



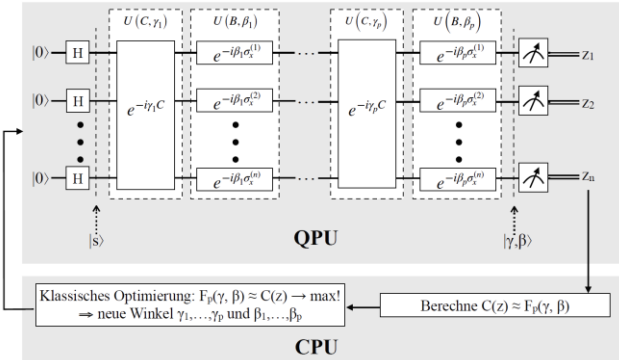
Quanten-Rauschen

| | | |
|------------------|--|--|
| Dekohärenz | Übergang eines reinen Zustands in einen gemischten Zustand durch Wechselwirkung mit der Umgebung über die Zeit | |
| Relax. time | T_1 ... Übergang in orthogonalen Zustand | Dephasing time: Kleine Störung, zufällige Änderung der Phase |
| Error-Correction | <p>No-Cloning: Kopieren eines Quantenzustandes nicht möglich</p> <p>Aber: Error-Correction möglich, z.B. 9 physische Qbits codieren ein logisches QBit</p> $ 0\rangle \mapsto \frac{(000\rangle + 111\rangle) \otimes (000\rangle + 111\rangle) \otimes (000\rangle + 111\rangle)}{2\sqrt{2}}$ $ 1\rangle \mapsto \frac{(000\rangle - 111\rangle) \otimes (000\rangle - 111\rangle) \otimes (000\rangle - 111\rangle)}{2\sqrt{2}}$ | |
| Gate Infidel. | Keine exakten Rotationen auf Bloch-Kugel. Der akkumulierte Fehler wächst linear mit der Länge der Rechnung. $wd \ll \frac{1}{\epsilon}$ | |
| Threshold Th. | Für jede vorgegebene Genauigkeit gibt es eine Implementierung mit fehlertoleranten Gattern, falls Fehlerrate klein genug. | |

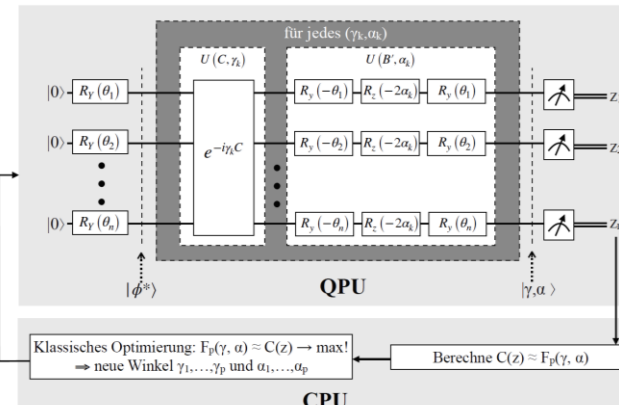
Hybride und Variationelle Algorithmen (VQA)

| | | |
|---------------------------------------|---|---|
| Hybrid | <p>Aufgeteilt auf QPU und CPU</p> <p>VQA:</p> | <p>Ansatz U sollte geringe Tiefe haben, so dass $T_U < T_D$.</p> <p>Messung sollte effizient sein, so dass $T_U + T_M < T_D$</p> <p>Gut für NISQ (Noisy Intermediate-Scale Quantum Computers)</p> <p>Kostenfunktion $C(\vec{P})$ codiert Lösung des Problems</p> <p>Ansatz $\hat{U}(\vec{P})$: Unitärer Operator, schätzt C ab</p> <p>Optimierung auf CPU mit $\vec{P}_{opt} = \text{argmax}_P C(\vec{P})$</p> |
| Rayleigh-Ritz | $\lambda_{\min} = \min(\sigma(\hat{O})) \leq \langle \Psi \hat{O} \Psi \rangle = \langle \hat{O} \rangle_{ \Psi\rangle}$ (Ann: $\ \Psi\rangle \ = 1$) | |
| Variational Quantum Eigensolver (VQE) | <p>Wähle Testvektoren $\vec{v}(\vec{\alpha})\rangle$, so dass $\langle \hat{O} \rangle_{ \vec{v}(\vec{\alpha})\rangle} = \sum_i \alpha_{ij} \langle P_{ij} \rangle_{ \vec{v}(\vec{\alpha})\rangle}$ minimal wird mittels klassischer Optimierung von $\vec{\alpha}$ auf der Pauli-String Zerlegung</p> <p>CPU. Dann ist $\langle \hat{O} \rangle_{ \vec{v}(\vec{\alpha})\rangle} \approx \lambda_{\min}$ und $\frac{ \vec{v}(\vec{\alpha})\rangle}{\ \vec{v}(\vec{\alpha})\rangle \ }$ die Näherung des zugehörigen Eigenvektors.</p> | |
| VQE Schaltkreis, vereinfacht: | | <p>Tat-sächlich:</p> |
| Anwendung: Schnitte als Basisvektoren | <p>Sei $G = (K, E)$ ein Graph, bestehend aus Knoten K und Kanten E, mit $\text{card}(K) = n$ (Anzahl der Knoten). Sei $\{S, T\}$ ein Schnitt von K. $(x_1, \dots, x_n) \in \{0, 1\}^n$ ist definiert als: $x_i = 1 \Leftrightarrow i \in S$ und $x_i = 0 \Leftrightarrow i \in T$. Jeder Schnitt $\{S, T\}$ wird so abgebildet auf $x_{ST} \in \{0, 1\}^n$, was wiederum in der Berechnungsbasis $\{ x_1, \dots, x_n\rangle\}$ ausgedrückt werden kann. Sei g die Anzahl Kanten zwischen Knoten aus der gleichen Menge (in S oder T) und u die Anzahl der Kanten zwischen Knoten unterschiedlicher Mengen ($S \leftrightarrow T$). Für die entsprechende Partition $x \in \{0, 1\}^n$ ist $w_x \stackrel{\text{def}}{=} \frac{1}{2}(g - u)$.</p> | |
| Max Cut als Eigenwertproblem | <p>Definiere Diagonalmatrix $M = \text{diag}(m_{ii})$ mit $m_{ii} = w_i$. M ist hermitesch, da diagonal. Sei $\lambda_{\min} = \min(\sigma(M))$. Dann gilt: S, T ist ein maximaler Schnitt von $G \Leftrightarrow x_{ST}\rangle$ ist Eigenvektor von $\lambda_{\min} \Rightarrow \text{Max Cut lässt sich mit VQE lösen!}$</p> | |

Quantum Approximate Optimization Algorithm (QAOA)

| | |
|---|---|
| QUBO, Klauseln | Sei $\{S, T\}$ ein Schnitt von K . $(x_1, \dots, x_n) \in \{0, 1\}^n$ ist definiert als: $x_i = 1 \Leftrightarrow i \in S$ und $x_i = 0 \Leftrightarrow i \in T$. Dann wird ein maximaler Schnitt definiert durch folgende (zu maximierende) Kostenfunktion: $C(x) = \frac{1}{2} \sum_{ij} C_{ij}(x)$ mit der Klausel $C_{ij}(x) = x_i(1 - x_j) + x_j(1 - x_i)$. QUBO: Quadratic Unconstrained Binary Optimization |
| Verallgemein. | Allgemeine Klausel $C_\alpha(z) : \mathbb{B}^n \rightarrow \mathbb{B}$ mit Kostenfunktion $C(z) = \sum_\alpha C_\alpha(z) \Rightarrow$ Kombinatorisches Optimierungsproblem |
| Kostenoperator | $\hat{U}(C, \gamma) = e^{-i\gamma C(z)} \Rightarrow$ Dreht die Phase umso mehr, je mehr Klauseln in der Kostenfunktion erfüllt sind. Unitär. |
| Mixer $\hat{U}(\vec{\beta}, \beta)$ | $\hat{B} = \sum_{j=1}^n \sigma_x^{(j)}$ mit $\sigma_x^{(j)} \stackrel{\text{def}}{=} I \otimes \dots \otimes I \otimes \sigma_x \otimes \dots \otimes I$. Hermitesch. Kovertiert Phasendrehungen in Amplituden. Mixer (unitär): $\hat{U}(\vec{\beta}, \beta) = e^{-i\beta \hat{B}}$ mit $\beta \in [0, \pi]$. Weil $[\sigma_x^{(i)}, \sigma_x^{(j)}] = 0$ ist Trotter-Entwicklung möglich: $\hat{U}(\vec{\beta}, \beta) = \prod_{j=1}^n e^{-i\beta \sigma_x^{(j)}}$ Weil $e^{-i\beta \sigma_x^{(j)}} = \hat{R}_x(2\beta)$, rotiert $\hat{U}(\vec{\beta}, \beta)$ jedes Qbit im Register um 2β . |
| Quantum Approximate Optimization Algorithm QAOA |  <p>wähle Hyperparameter $p \in \mathbb{N}, p \geq 1$, wähle $\vec{\gamma} = (\gamma_1, \dots, \gamma_p) \in [0, 2\pi]^p$ wähle $\vec{\beta} = (\beta_1, \dots, \beta_p) \in [0, \pi]^p$ erzeuge $s\rangle = \hat{H}^{\otimes n} 0\rangle^{\otimes n} = \frac{1}{\sqrt{2^n}} \sum_{z=0}^{2^n-1} z\rangle$ $\vec{\gamma}, \vec{\beta}\rangle = \prod_{i=1}^p \hat{U}(\vec{\beta}, \beta) \hat{U}(C, \gamma) s\rangle$ mit $\vec{\gamma}, \vec{\beta}\rangle$ messe $z \in \mathbb{B}^n$ berechne $F_p(z) \approx \max(C)$ für „große“ p wenn nötig: berechne neue Winkel $\vec{\gamma}, \vec{\beta}$ mittels klassischer Optimierung, um $F_p(z) \approx C(z)$ zu maximieren</p> |
| Dichte α | $\alpha = \frac{K}{N}$ mit K ... Anzahl Klauseln, N ... Anzahl Variablen. Für eine gegebene Tiefe p gibt es ein α_p , so dass für Probleme mit Dichte $\alpha > \alpha_p$ keine Lösung mit QAOA in akzeptabler Zeit gefunden wird. \Rightarrow Einsatzbereich von QAOA problemabhängig! |
| Vorteile | Jeder Quantenalgorithmus kann mit QAOA approximiert werden (auch auf NISQ-Maschinen!) |

Warm Start – QAOA (WS-QAOA)

| | |
|------------------|---|
| Güte | Sei \mathcal{P} ein NP-Problem, und P eine Instanz von \mathcal{P} mit Problemgröße N . Sei $\text{OPT}(P)$ der Wert der optimalen Lösung. Sei ALG ein polynomialer Approximationsalgorithmus für \mathcal{P} , und $\text{ALG}(P)$ die von ALG berechnete Lösung. Dann gilt für die Güte (den Approximationsfaktor) C : $\text{ALG}(P) \geq \text{OPT}(P) / C$ für Maximierungsprobleme, bzw $\text{ALG}(P) \leq C \text{OPT}(P)$ für Minimierungsprobleme |
| UGC | Unique Games Conjecture (UGC): Jede Kante eines Graphen hat der mögliche Paare von Farben für die Knoten vorgegeben. "Einzigartiges Spiel": Man muss für jede Kante ein Paar wählen, sodass der Graph konsistent gefärbt wird. Vermutung: Die Lösung ist NP-schwer. Unter der Voraussetzung, dass UGC wahr ist, lassen sich die besten Approximationsfaktoren vieler Probleme bestimmen. \Rightarrow Die Güte C bestimmt ein Intervall rund um die optimale Lösung $\text{OPT}(P)$, die mit einem klassischen polynomialer Approximationsalgorithmus $\text{ALG}(P)$ nicht erreicht werden kann. |
| Verschränk. | Wenn Verschränkung ausgenutzt wird, ist UGC falsch! Man kann mit $\text{ALG}(P)$ näher an die optimale Lösung herankommen. |
| Warm Start QAOA |  <p>wähle Hyperparameter $\varepsilon \in \mathbb{R}, 0 \leq \varepsilon \leq \frac{1}{2}$ wähle $\vec{\gamma} = (\gamma_1, \dots, \gamma_p) \in [0, 2\pi]^p$ wähle $\vec{\alpha} = (\alpha_1, \dots, \alpha_p) \in [0, \pi]^p$ starte m. Näherung $s\rangle = \otimes_{i=1}^n \hat{R}_y(\theta_i) 0\rangle^{\otimes n}$ wobei $\theta_i = \begin{cases} 2 \arcsin \sqrt{c_i^*} & \text{für } c_i^* \in [\varepsilon, 1 - \varepsilon] \\ 2 \arcsin \sqrt{\varepsilon} & \text{für } c_i^* \leq \varepsilon \\ 2 \arcsin \sqrt{1 - \varepsilon} & \text{für } c_i^* \geq 1 - \varepsilon \end{cases}$ und $c_i^* \in [0, 1]$ (stetige Relaxation) Modifizierter Mixer: $\hat{U}(\vec{\beta}', \alpha_i) = \prod_{j=1}^n e^{-i\alpha_j B_j} = \prod_{j=1}^n \hat{R}_y(\theta_j) \hat{R}_z(-2\alpha_j) \hat{R}_y(-\theta_j)$ mit $B' = \sum_{i=1}^n B_i, B_i \stackrel{\text{def}}{=} I \otimes \dots \otimes I \otimes \beta_i \otimes \dots \otimes I$ und $\beta_i = \begin{pmatrix} 2c_i^* - 1 & -2\sqrt{c_i^*(1-c_i^*)} \\ -2\sqrt{c_i^*(1-c_i^*)} & 1 - 2c_i^* \end{pmatrix}$</p> |
| Karge Hochebenen | Ist die Kostenfunktion C global, kann es immer zu „kargen Hochebenen“ kommen, egal ob U tief oder flach ist. Nur wenn U flach ist mit $O(\log(n))$ und die Kostenfunktion C lokal ist, gibt es <u>keine</u> kargen Hochebenen. |

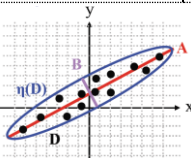
Berechnung von Gradienten mittels Quantenschaltkreisen

| | | |
|---------------------------|--|--|
| Annahme | $\hat{U}(\vec{\theta})$ ist eine Komposition von (kontrollierten) Ein-Parameter-Gattern \mathbb{G} und $\mu \in \{\theta_1, \dots, \theta_n\}$ ist der Parameter eines einzelnen Gatters $\mathbb{G}(\mu)$, dann lässt sich $\hat{U}(\vec{\theta})$ zerlegen in $\hat{U}(\vec{\theta}) = \hat{V} \mathbb{G}(\mu) \hat{W}$ | |
| Berechnung des Gradienten | | <p>Erweitere $\hat{U}(\vec{\theta}) = \hat{V} \mathbb{G}(\mu) \hat{W}$ zu $\hat{U}_1(\vec{\theta}) = \hat{V} \mathbb{G}(\mu) \mathbb{G}(\frac{\pi}{4r}) \hat{W}$ und $\hat{U}_2(\vec{\theta}) = \hat{V} \mathbb{G}(\mu) \mathbb{G}(\frac{\pi}{4r}) \hat{W}$ Ausführen von $\hat{U}_1(\vec{\theta})$ und $\hat{U}_2(\vec{\theta})$ Subtraktion der Eigenwerte auf der CPU Multiplikation mit r Damit hat man $\partial_\mu f(\mu)$ für ein $\mu \in \{\theta_1, \dots, \theta_n\}$ Wiederholung für jedes $\mu \in \{\theta_1, \dots, \theta_n\}$ → liefert $\nabla f(\mu)$</p> |

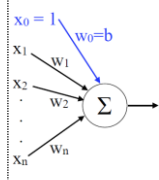
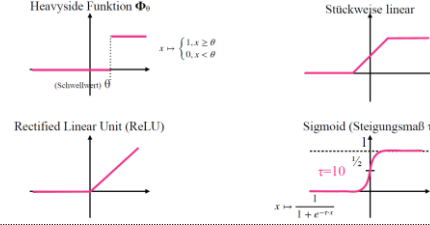
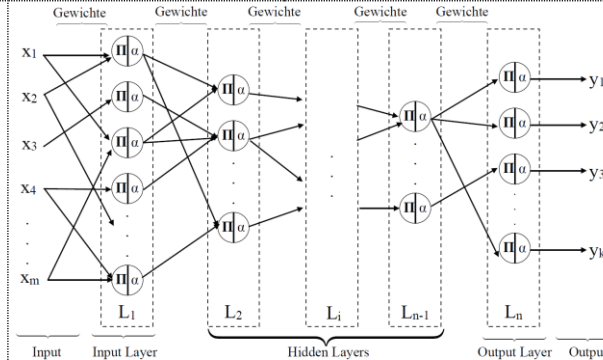
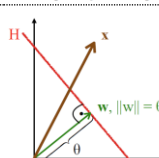
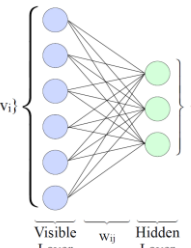
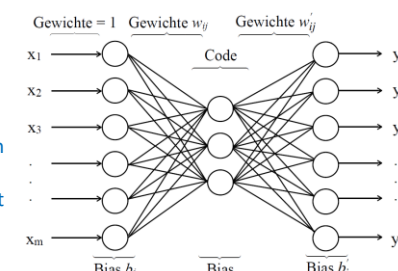
Kategoriale Daten

| | | |
|----------------------------|---|--|
| Nominale Dat. | Endlicher Wertevorrat, ohne natürliche Ordnung (z.B. Farbe: {rot, grün, blau}). Nur Vergleich auf Gleichheit möglich. | |
| Ordinale Daten | Endlicher Wertevorrat, mit natürlicher Ordnung (z.B. Kleidergröße: {S, M, L, XL}). Auch größer/kleiner-Vergleich möglich. | |
| Abb num Daten | z.B. rot \mapsto 1, grün \mapsto 2, blau \mapsto 3. Problem: Farbe rot < grün macht keinen Sinn (Kleidergröße S \mapsto 1 < M \mapsto 2 dagegen schon). | |
| 1-aus-n-Code | z.B. rot \mapsto (1,0,0), grün \mapsto (0,1,0), blau \mapsto (0,0,1). Problem: Dimension des Feature-raums sehr groß, Vektoren äquidistant | |
| Einbettung | Einbettung φ ist Abb. eines hoch-dim. Booleschen Feature-raums \mathbb{B}^n in den niedrigerdimensionalen Vektorraum \mathbb{R}^d , $d \ll n$ | |
| Ähnlichkeitsmaß $s(i, i)$ | Sei M eine endlich Menge, dann ist $s: M \times M \rightarrow \mathbb{R}$ ein Ähnlichkeitsmaß, wenn $\forall i, j \in M$: (i) $s(i, j) = s(j, i)$ (symmetrisch) (ii) $s(i, i) \geq s(i, j)$ (maximal ähnlich) (iii) $s(i, j) > 0$ (positiv) (iv) $s(i, i) = 1$ (selbst-identisch) Def. machmal ohne (iii) und (iv) | |
| Distanzmaß $t(i, j)$ | Auch: Unähnlichkeit. Erfüllt i.A. nicht die Dreiecksungleichung. Sei M eine endlich Menge, dann ist $t: M \times M \rightarrow \mathbb{R}$ ein Distanzmaß, wenn $\forall i, j \in M$: (i) $t(i, j) > 0$ (positiv) (ii) $t(i, j) = 0 \Leftrightarrow i = j$ (definit) (iii) $t(i, j) = t(j, i)$ (symmetrisch) | |
| Metrik | Zusätzlich zu den Regeln für das Distanzmaß: (iv) $t(i, j) \leq t(j, k) + t(k, j)$ (Dreiecksungleichung) | |
| Ähnl \rightarrow Distanz | $t(i, j) = \sqrt{s(i, i) + s(j, j) - 2s(i, j)}$ | Distanzmaß \rightarrow Ähnlichkeitsmaß $s(i, j) = \frac{1}{1+t(i, j)}$ |
| MDS | Multi-Dimensionale Skalierung. Abbildung $\varphi(M, t) \rightarrow (\mathbb{R}^n, d)$, sodass $d_{ij} = d(\varphi(i), \varphi(j)) \approx t(i, j) = t_{ij}$ Spezialfall: $\varphi: M \subseteq \mathbb{R}^m \rightarrow \mathbb{R}^n$ mit $n \ll m$... Feature Reduction | |
| Verlustfunktion (Stress) | Menge der Bilder $X = \varphi(M)$ heißt Konfiguration. Finden der optimalen Konfiguration durch Minimieren einer Verlustfunkt. Raw Stress: $\sigma_r(X, a) = \sum_{i < j} (d_{ij} - at_{ij})^2$ Norm. Stress: $\sigma_n(X, a) = \sum_{i < j} \frac{(d_{ij} - at_{ij})^2}{a^2 t_{ij}^2}$ Kruskal Stress: $\sigma_n(X, a) = \sum_{i < j} \frac{(d_{ij} - at_{ij})^2}{d_{ij}^2}$ | |
| Wu-Palmer | <p>Ähnlichkeitsmaß für kategoriale Daten, die durch Taxonomie strukturiert sind, d.h. MDS anwendbar</p> $\omega(x, y) = \frac{2L(p_{x,w})}{L(p_{x,v}) + L(p_{y,v}) + 2L(p_{v,w})} = \frac{2L(p_{x,w})}{L(p_{x,w}) + L(p_{y,w})}$ <p>mit $p_{a,b}$... Pfadlänge von Knoten a zu Knoten b w ... Wurzelknoten v ... Nächster gemeinsamer Vorgänger von x, y</p> | <p>Ähnlichkeit mengenwertiger Eigenschaften</p> <p>$\max_{\beta \in B} s(a, \beta) = 0.7$ $\max_{\beta \in B} s(b, \beta) = 0.9$ $\max_{\beta \in B} s(c, \beta) = 0.8$</p> <p>$\max_{\alpha \in A} s(\alpha, x) = 0.8$ $\max_{\alpha \in A} s(\alpha, y) = 0.9$</p> |
| Tupel | Vergleich von Tupeln mengenwertiger Eigenschaften: $\mu(\mathcal{A}, \mathcal{B}) = \frac{1}{m} \sum_{i=1}^m \sigma_i(A_i, B_i)$ | |

Dimensionsreduktion

| | | | |
|----------------------------------|--|------------------------|--|
| Zufallsvariable | Ist keine Variable, sondern eine Abbildung, die jedem Ereignis eines Zufallsexperiments eine reelle Zahl zuordnet $X: \Omega \rightarrow \mathbb{R}$ | | |
| beobachteter Mittelwert | N Versuche, jedes der n möglichen Ereignisse $\omega_i \in \Omega$ wird dabei h_i mal beobachtet. Mittelwert $m(X) = \frac{1}{N} \sum_{i=1}^N X(\omega_i)$ $h_i = \sum_{i=1}^N X(\omega_i) \frac{h_i}{N} \approx \sum_{i=1}^N X(\omega_i) P(\omega_i)$ weil $\frac{h_i}{N} \approx P(\omega_i)$ | Erwartungswert $E(X)$ | $E(X) = \sum_{\omega \in \Omega} X(\omega) P(\omega)$ $m(X) \xrightarrow{N \rightarrow \infty} E(X)$ |
| Varianz 1D | $\text{var}(X) = E((X - E(X))^2) = E(X^2) - E(X)^2 \approx m((X - m(X))^2) = \frac{1}{N} \sum_{i=1}^N (x_i - m)^2$ | Std.Abw. (Streuung) | $\sigma = \sqrt{\text{var}(X)}$ |
| Varianz 2D | $\sigma_x^2 \approx \frac{1}{N} \sum_{i=1}^N (x_i - m_x)^2$, $\sigma_y^2 \approx \frac{1}{N} \sum_{i=1}^N (y_i - m_y)^2$ | Kovarianz | $\text{cov}(G, H) \approx \frac{1}{N} \sum_{i=1}^N (g_i - m_G)(h_i - m_H)$ mit $G = \{g_i\}$, $H = \{h_i\}$ |
| Kovarianz Matrix 2D | $\Sigma(D) = \begin{pmatrix} \sigma_x^2 & \sigma_{xy} \\ \sigma_{yx} & \sigma_y^2 \end{pmatrix}$ | Kovarianz Matrix allg. | $\Sigma(D) = \begin{pmatrix} \sigma_1^2 & \sigma_{12} & \dots & \sigma_{1n} \\ \sigma_{21} & \sigma_2^2 & \dots & \sigma_{2n} \\ \vdots & \vdots & \ddots & \vdots \\ \sigma_{n1} & \sigma_{n2} & \dots & \sigma_n^2 \end{pmatrix}$ symmetrisch \Rightarrow alle $\lambda_i \in \mathbb{R}$ pos. semidefinit diagonalisierbar |
| PCA Principal Component Analysis |  <p>$\Sigma(D)$ beschreibt einen Ellipsoiden (eine ellipsoide Quadrik), wobei die Eigenvektoren von $\Sigma(D)$ die Hauptachsenrichtungen bestimmen, und die zugehörigen Eigenwerte die Länge der Halbachsen. D liegt im Inneren des durch $\Sigma(D)$ beschriebenen Ellipsoiden.</p> <p>Die längsten Halbachsen bestimmen die Hauptkomponenten (Principal Components) Projektion der Punkte aus D auf die Hyperebene der Hauptkomponenten („Feature Extraction“) Beispiel links: Die Information von D ist im Wesentlichen in der Projektion auf A enthalten.</p> | | |

Neuronale Netze

| | | |
|-----------------------------------|---|---|
| Neuron |  <p>$x_0 = 1$ $w_0 = b$</p> <p>$\sum_{i=1}^n w_i x_i$... Propagierungsfunktion alternativ: $\prod_{i=1}^n w_i x_i$ oder $\max_i(w_i x_i)$ $w_0 = b$... Schwellwert (Bias) $\alpha: \mathbb{R} \rightarrow \mathbb{R}$... Aktivierungsfunktion Beispiele: Siehe rechts</p> <ul style="list-style-type: none"> - monoton steigend - stückweise C^1 (stetig diff.bar) - Nichtlinearität |  <p>Heaviside Funktion Φ_θ</p> <p>Stückweise linear</p> <p>Rectified Linear Unit (ReLU)</p> <p>Sigmoid (Steigungsmaß τ)</p> |
| Neuronales Netz |  <p>Gewichte Gewichte Gewichte Gewichte Gewichte</p> <p>Input Input Layer Hidden Layers Output Layer Output</p> | <p>Als Funktion: $\vec{y} = F(\vec{x}; \{w_{ij}\}; \{b_r\})$</p> <p>Lernen: iteratives Anpassen der Gewichte $\{w_{ij}\}$ und der Schwellwerte $\{b_r\}$, sodass $F(\vec{x}_i) = \vec{Y}_i$ bestmöglich alle \vec{y}_i approximiert.</p> <p>Loss Function: $L(w, b) = \sum_i (\vec{y}_i - \vec{Y}_i)^2$</p> <p>Lösung mit Back-Propagation, Gradientenverfahren, Belder-Mead, ...</p> |
| Perzeptron | <p>Ein Neuron $v(\vec{x}) = \theta_\theta \sum_{i=1}^n w_i x_i$ mit der Heaviside-Funktion θ_θ als Aktivierungsfunktion heißt Perzeptron.</p> <p>$v(\vec{x}) = 1 \Leftrightarrow \vec{x}$ liegt „rechts“ von der durch \vec{w} definierten Hyperebene H (siehe rechts)</p> <p>Geeignet für Klassifikation lin. separabler Daten</p>  | <p>Sei $T = \{(\vec{t}_1, d_1), \dots, (\vec{t}_n, d_n)\}$... Trainingsdaten mit $d_j \in \{0, 1\}$</p> <p>wähle für $\vec{w}(0)$ zufällige (kleine) Werte</p> <p>berechne $v(\vec{x})$, berechne neues $w_i(t+1) = w_i(t) + r(d_j - y_i(t))x_{ij}$ für zufälliges j</p> <p>wiederholen, bis $L(w) < \epsilon$</p> |
| RBM Restricted Boltzmann Maschine | <p>Neuronales Netz mit 2 Layern. Kanten nur zwischen Knoten verschiedener Layer. Keine Verbindungen innerhalb der Layer („restricted“). Jeder Knoten des Input-layers ist mit allen Knoten des „hidden“-Layers verbunden.</p> <p>Geeignet für Klassifikation oder Feature Selection. Neuronen des RBM nehmen nur binäre Werte an.</p>  <p>Visible Layer $\{v_i\}$ Hidden Layer $\{h_j\}$</p> <p>Gewichte w_{ij}</p> | <p>Zwei gestapelte RBM ergeben einen Autoencoder. Input-Layer mit Hidden Layer: Encoder. Hidden Layer mit Output Layer: Decoder.</p>  <p>Gewichte = 1 Gewichte w_{ij} Gewichte w'_{ij}</p> <p>Bias b_i Bias Bias b'_i</p> |

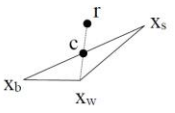
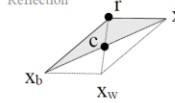
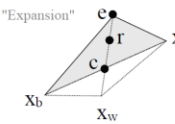
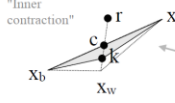
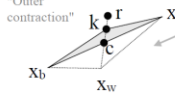
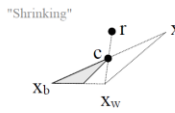
No Free Lunch Theorem

| | |
|--|--|
| No free lunch | Seien A, B endliche Mengen, und B linear geordnet („es gibt ein größtes Element in B “). Sei F_{AB} die Menge aller Abbildungen $f: A \rightarrow B$. Für ein beliebiges $f: A \rightarrow B$ wird das Maximum $\operatorname{argmax}(f)$ gesucht. Sei H eine beliebige Suchheuristik zur Bestimmung von $\operatorname{argmax}(f)$ für eine Funktion f aus F_{AB} , und $r(H)$ die durchschnittliche Laufzeit von H über alle Funktionen f aus F_{AB} . Dann ist $r(H)$ unabhängig von H , d. h. $\forall H_1, H_2: r(H_1) = r(H_2)$ „Kein Algorithmus, der beliebige (Black-Box) Optimierungsprobleme löst, ist besser als irgend ein anderer solcher Algorithmus.“ |
| Supervised learning | Sei $S = \{(x_1, y_1), \dots, (x_n, y_n)\} \subseteq \mathcal{X} \times \mathcal{Y}$ die Menge der Trainingsdaten. S wurde erzeugt von einer unbekanntem Funktion $f: \mathcal{X} \rightarrow \mathcal{Y}$. Aufgabe: Die unbekanntem Funktion f ist aus den Trainingsdaten zu bestimmen. Gesucht ist die Hypothese $h(x_i) = y_i$ für $1 \leq i \leq n$. Die Erwartung ist, dass dann $f = h$ gilt. Ein Lernalgorithmus \mathcal{A} berechnet so eine Hypothese. |
| Risiko | Die Verlustfunktion $L: \mathcal{Y} \times \mathcal{Y} \rightarrow \mathbb{R}$ misst, wie weit $h(x_i)$ durchschnittlich vom den tatsächlichen y_i abweicht. Je kleiner, der durchschnittliche Verlust (Risiko, out-of-sample-error, Generalisierungsfehler) $L(y, h(x))$, desto besser ist h . |
| In-sample-error | Durchschnittlicher Verlust auf den Trainingsdaten (in-sample-error) $\hat{R}(h) = \frac{1}{n} \sum_{i=1}^n L(y_i, h(x_i))$. Für endliche \mathcal{Y} gibt es immer ein h , das \hat{R} minimiert |
| Classical No-Free-Lunch Theorem in Supervised Learning | Seien S die Trainingsdaten, sei $ \mathcal{X} < \infty, \mathcal{Y} < \infty$ und $ \mathcal{X} > S $. Für $f \in F_{\mathcal{X}\mathcal{Y}}$ definiere das Risiko $R_f(h) = \sum_{x \in \mathcal{X}} X(x) \mathbb{P}(h(x) \neq f(x))$. Dann ist für jeden Lernalgorithmus \mathcal{A} das durchschnittliche Risiko, gemittelt über alle $f \in F_{\mathcal{X}\mathcal{Y}}$ $\mathbb{E}_f(\mathbb{E}_S(R_f(h_S))) \geq (1 - \frac{1}{ \mathcal{Y} }) (1 - \frac{ S }{ \mathcal{X} })$ Interpretation: Wenn keine Trainingsdaten ($ S = 0$) \Rightarrow Risiko $1 - 1/ \mathcal{Y} $ („bloßes Raten“) $ \mathcal{Y} \rightarrow \infty \Rightarrow$ Risiko wird groß, weil es immer mehr Funktionen gibt, die man raten muss Festes $ \mathcal{Y} $, viele Testdaten $ S \rightarrow \mathcal{Y} \Rightarrow$ Durchschnittliches Risiko wird beliebig klein |
| Quantum No-Free-Lunch Theorem | Durchschnittliches Risiko gemittelt über alle unitären Transformationen U und Trainingsdaten S $\mathbb{E}_U(\mathbb{E}_S(R_U(\hat{V}_S))) \geq 1 - \frac{r^2 n^2 + d + 1}{d(d+1)}$ r ... Schmidt-Rang der Trainingsdaten, n ... Anzahl Trainingsdatensätze, d ... Dim. Hilbertraum Interpretation: - Sind die Trainingsdaten unverschränkt, verschwindet das Risiko nur für $n = d$ und $d \rightarrow \infty$. Man benötigt dann wegen $d = 2^m$ exponentiell viele Trainingsdaten. - Sind aber die Trainingsdaten maximal verschränkt ($r = d$), dann geht das Risiko für $d \rightarrow \infty$ bereits für $n = 1$ gegen Null! Ein einziger, maximal verschränkter Trainingsdatensatz hoher Dimension genügt, um eine unitäre Transformation mit geringem Risiko zu lernen. |

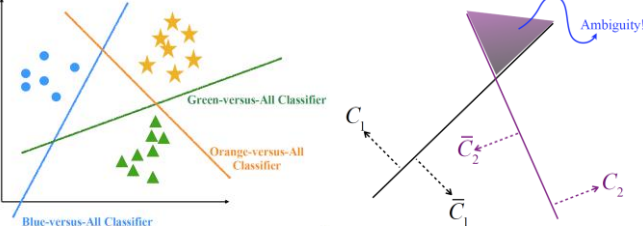
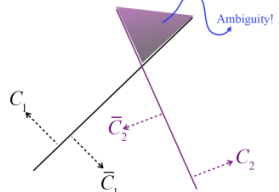
Support Vector Machines

| | |
|-------------------------|--|
| Ziel | <p>Wir suchen nach einer Hyperebene H, die zwei Klassen von Datenpunkten „am besten“ trennt. Positionierung der Hyperebene, so dass sie einen „maximalen Rand“ ohne Datenpunkte hat.</p> |
| SVM Optimierung | <p>Training Data $T = \{(\vec{x}_1, y_1), \dots, (\vec{x}_n, y_n)\}$, $\vec{x}_i \in \mathbb{R}^g$, $y_i \in \{-1, 1\}$. Hyperebene: $\{x: \langle \vec{x}, \vec{w} \rangle - b = 0\}$. Klassifizierung der Datenpunkte mit $\operatorname{sign}(\langle x, w \rangle - b)$. Problem: Finde Hyperebene, so dass $d_H(T)$ maximiert wird, wobei $d_H(T) = \min\{d_H(\vec{x}_i)\}$</p> <p>$y_i = 1 \Rightarrow d_H(\vec{x}_i) \geq d_H(T)$ $y_i = -1 \Rightarrow -d_H(\vec{x}_i) \geq d_H(T) \Rightarrow y_i d_H(\vec{x}_i) \geq d_H(T) \Rightarrow y_i(\langle \vec{x}_i, \vec{w} \rangle - b) \geq d_H(T) \Rightarrow y_i(\langle \vec{x}_i, \frac{\vec{w}}{d_H(T)} \rangle - \frac{b}{d_H(T)}) \geq 1$</p> <p>Redefinition: $\vec{w} \rightarrow \frac{\vec{w}}{d_H(T)}$ und $b \rightarrow \frac{b}{d_H(T)} \Rightarrow \boxed{y_i(\langle \vec{x}_i, \vec{w} \rangle - b) \geq 1}$</p> <p>Finde Maximum von $d_H(T) = \frac{1}{\ \vec{w}\ } \Rightarrow$ Finde Minimum von $\ \vec{w}\$ (bzw. $\frac{1}{2} \sum_{j=1}^g w_j^2$) unter der Nebenbed. $y_i(\langle \vec{x}_i, \vec{w} \rangle - b) \geq 1$</p> |
| Finde Extremwert mit NB | <p>Sei f die zu maximierende Funktion, $g = c$ die Nebenbedingung und P das lokale Maximum von f unter der Nebenbedingung $g = c$. Dann sind die Tangenten von f und g an der Stelle P parallel $\Rightarrow \vec{\nabla} f(P) \parallel \vec{\nabla} g(P) \Rightarrow \vec{\nabla} f(P) = \lambda \vec{\nabla} g(P)$</p> <p>Die lokale Extrema unter Nebenbedingung zu finden ist äquivalent dazu, die lokalen Extrema der Lagrange-Funktion $L(x, y, \lambda) = f(x, y) + \lambda(g(x, y) - c)$ zu finden $\Rightarrow \vec{\nabla}_{x,y,\lambda} L(x, y, \lambda) = 0$</p> <p>Verallgemeinerung: $L(\vec{x}, \lambda) = f(\vec{x}) + \sum_{i=1}^m \lambda_i g_i(\vec{x}) \Rightarrow \vec{\nabla}_{x_1, \dots, x_n, \lambda_1, \dots, \lambda_n} L(x_1, \dots, x_n, \lambda_1, \dots, \lambda_n) = 0$</p> |
| Geränderte Hesse-Matrix | $\bar{H} = \begin{pmatrix} 0 & \frac{\partial g}{\partial x} & \frac{\partial g}{\partial y} \\ \frac{\partial g}{\partial x} & \frac{\partial^2 L}{\partial x^2} & \frac{\partial^2 L}{\partial x \partial y} \\ \frac{\partial g}{\partial y} & \frac{\partial^2 L}{\partial y \partial x} & \frac{\partial^2 L}{\partial y^2} \end{pmatrix}$ <p>$\det(\bar{H}(x_0, y_0)) > 0 \Rightarrow$ lokales Maximum (unter NB) $\det(\bar{H}(x_0, y_0)) < 0 \Rightarrow$ lokales Minimum (unter NB) $\det(\bar{H}(x_0, y_0)) = 0 \Rightarrow$ nicht entscheidbar</p> |
| SVM Lagrange | $L(\vec{w}, b, \vec{\alpha}) = f(\vec{w}) - \sum_{i=1}^n \alpha_i g_i(\vec{w}, b)$ mit $f(\vec{w}) = \frac{1}{2} \sum_{j=1}^g w_j^2$ und NB $g_i(\vec{w}, b) = y_i(\langle \vec{x}_i, \vec{w} \rangle - b) - 1$ |
| Äquivalent | Finde Maximum von $f(\vec{\alpha}) = \sum_{i=1}^n \alpha_i - \frac{1}{2} \sum_{i=1}^n \sum_{j=1}^n \alpha_i \alpha_j y_i y_j \langle x_i, x_j \rangle$ unter der Nebenbedingung $\sum_{j=1}^g \alpha_j y_j = 0$ |

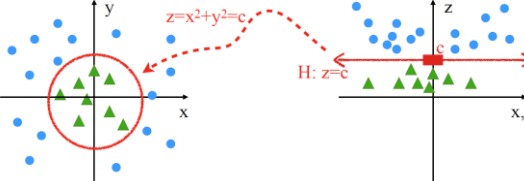
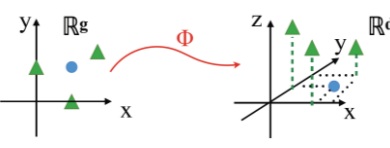
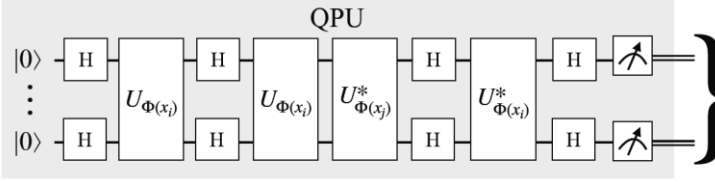
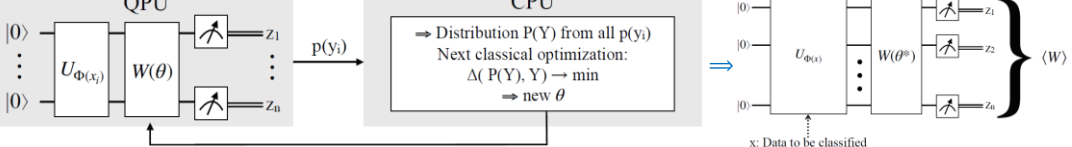
Ableitungsfreie Optimierungsmethoden

| | |
|----------------------------|--|
| <p>Values on a Simplex</p> | <p>Compute indices $w, b, x \in \{1, \dots, n+1\}$ such that^(*):</p> $x_w := \operatorname{argmin} \{f(x) \mid x \in \Delta\} \quad \rightarrow \text{worst point}$ $x_s := \operatorname{argmin} \{f(x) \mid x \in \Delta, s \neq w\} \quad \rightarrow \text{second worst point}$ $x_b := \operatorname{argmax} \{f(x) \mid x \in \Delta, b \neq s, b \neq w\} \quad \rightarrow \text{best point}$ <p>Compute the <i>centroid</i> of the n best points: $c = \frac{1}{n} \sum_{i \neq w} x_i$ (i.e. centroid of the points leaving out worst point x_w)</p>  <p>Compute the point r by reflecting x_w at the centroid c (<i>reflection point</i>):</p> $r = c + \alpha (c - x_w); \alpha \text{ is a hyper-parameter — typically } \alpha = 1$ |
| <p>Iteration Steps</p> | <p>"Reflection"</p>  <ul style="list-style-type: none"> $\bullet f(x_b) \geq f(r) \geq f(x_s)$: Exchange x_w by r in Δ <p>"Expansion"</p>  <ul style="list-style-type: none"> $\bullet f(r) > f(x_b)$: Compute the expanded point $e = c + \beta (c - x_w)$ with $\beta > \alpha$ (typically, $\beta = 2$); \bullet if $f(e) > f(r)$, then exchange x_w by e in Δ; otherwise: exchange x_w by r in Δ <p>"Inner contraction"</p>  <ul style="list-style-type: none"> $\bullet f(x_s) > f(r)$: Compute the contracted point k as follows $\bullet f(r) > f(x_w)$: $k = c + \gamma (x_w - c)$, $0 < \gamma < \alpha$ (typically $\gamma = 1/2$) $\bullet f(r) \leq f(x_w)$: $k = c + \gamma (c - x_w)$ <p>"Outer contraction"</p>  <ul style="list-style-type: none"> $\bullet f(k) > f(x_w)$: Exchange x_w by k in Δ; otherwise: see next <p>"Shrinking"</p>  <ul style="list-style-type: none"> $\bullet f(x_s) > f(r)$: Compute the contracted point k ... $\bullet f(k) \leq f(x_w)$: Shrink simplex Δ by $1/2$ towards x_b, i.e. exchange x_i in Δ by $x_i \mapsto \frac{1}{2} (x_b + x_i)$ for $i \neq b$ |
| <p>Methode</p> | <p>Initialize simplex Δ Set termination condition $\epsilon_f, \epsilon_\Delta$ repeat Compute x_b, x_s, x_w, r Exchange x_w in Δ (by reflection, expansion, contraction, shrinking) until $f(x_b) - f(x_w) < \epsilon_f$ or $\max_{x_i \neq x_b} \ x_i - x_b\ < \epsilon_\Delta$</p> |

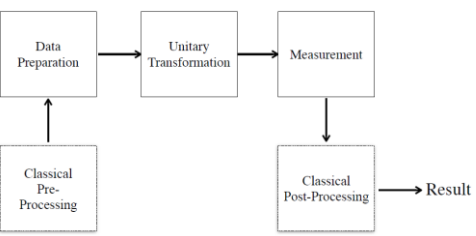
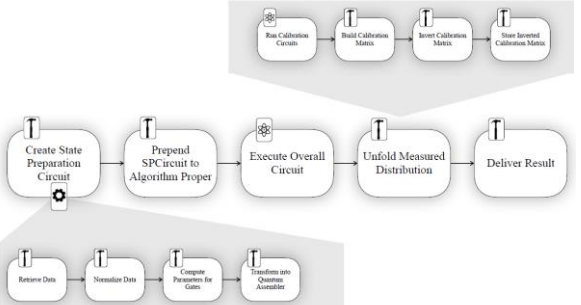
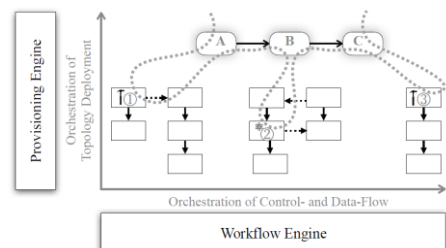
Multiklassen-Probleme

| | |
|-----------------------|---|
| <p>one-versus-all</p> |  |
| <p>Paarweise</p> | <p>Erzeuge binären Klassifizierer T_{ij} für jedes Klassenpaar C_i, C_j Definiere einen Klassifizierer für C_j als $T_j(\vec{x}) = \sum_{i=1; i \neq j}^M T_{ij}(\vec{x})$ Der Gesamt-Klassifizierer ist dann $T(\vec{x}) = \max_{1 \leq j \leq M} T_j(\vec{x})$</p> <p>Auch hier gibt es Ambiguitäten!</p>  |

Nicht-Lineare Separierung

| | | |
|---|---|---|
| <p>Übergang in höherdim. Feature-Raum z.B. $z = x^2 + y^2$</p> |  | <p>Allg. Trick: Projektion in höherdim. Feature-Raum $\Phi: \mathbb{R}^g \rightarrow \mathbb{R}^d$ (Feature-map)</p>  |
| <p>Trick Kernel-Funktion</p> | <p>Wir müssen daher maximieren: $f(\vec{\alpha}) = \sum_{i=1}^N \alpha_i - \frac{1}{2} \sum_{i=1}^N \sum_{j=1}^N \alpha_i \alpha_j y_i y_j \langle \Phi(\vec{x}_i), \Phi(\vec{x}_j) \rangle$ unter Nebenbedingung $\sum_{j=1}^g \alpha_j y_j = 0$ Wir brauchen Φ nicht zu kennen, wenn wir eine Kernel-Funktion $K(\vec{x}_i, \vec{x}_j) = \langle \Phi(\vec{x}_i), \Phi(\vec{x}_j) \rangle$ finden! $K: \mathbb{R}^g \times \mathbb{R}^g \rightarrow \mathbb{R}$ Während der Feature-Raum extrem hochdimensional ist. Ist der kernel in einem vergleichsweise niedrigdimensionalen Raum berechnet werden. Insbesondere müssen wir den Feature-Raum und die Feature-Map Φ gar nicht kennen! Das Skalarprodukt wird durch den entsprechenden Krenel ersetzt („Kernelization“)</p> | |
| <p>Quantum Kernel Estimation</p> |  <p>Leite mit diesem Schaltkreis für alle Paare $\{(\vec{x}_i, y_i)\}$ die Koeffizienten $K(\vec{x}_i, y_i)$ der Kernel-Matrix $K = (K(\vec{x}_i, y_j))_{ij}$ her. Damit ist das Optimierungsproblem gelöst.</p> | |
| <p>Alternativ: Klassifizierer auf der QPU berechnen, hybrider Algorithmus</p> |  <p>x: Data to be classified</p> | |

Hybride Quantum/Klassische Applikationen

| | | |
|--|--|--|
| <p>Struktur und Workflow</p> <p>Packaging in QAA (Quantum Application Archive)</p> |  |  |
| <p>Middleware</p> | <p>Provisioning Engine mit Topology Modeler für „Topology Orchestration“</p> <p>Workflow Engine mit Workflow Modeler für „Workflow Orchestration“</p>  | |